



УДК 669.162.23

© 2011

Член-корреспондент НАН України **Б. И. Басок**,  
член-корреспондент НАН України **А. А. Авраменко, В. В. Гоцуленко**

### Динамическое демпфирование автоколебаний в модели регенеративного воздухонагревателя с сотовыми камерами горения

*Розглянуто динамічне демпфірування автоколивань у моделі регенеративного повітрянонагрівача із стільниковою вертикальною камерою горіння. Одержано математичну модель даної коливальної системи. Вивчено особливості демпфірування автоколивань вібраційного горіння.*

Основными механизмами возбуждения автоколебаний вибрационного горения являются: запаздывание  $\tau$  сгорания топлива, введенное Л. Крокко, и образование восходящей ветви зависимости напора  $F(G)$  от массового расхода  $G$  потока в камере горения [1]. Уменьшение амплитуды таких колебаний снижением интенсивности  $dF/dG$  за счет повышения активного сопротивления рассмотрено в [2]. Управление амплитудой автоколебаний вибрационного горения при одновременном действии основных механизмов исследовано в [3]. В механических и электрических колебательных контурах [4, 5] определено динамическое демпфирование колебаний, когда они описываются линейными динамическими системами. Причем причины, вызывающие колебания, могут быть любыми, в частности, созданные периодическим действием внешних сил.

В данной работе рассматривается динамическое демпфирование автоколебаний вибрационного горения в регенеративных воздухонагревателях доменных печей (кауперах). Рассматривается модель сотовой камеры горения, а в тракте, согласно теории, выделены два колебательных контура (рис. 1) с управляемыми акустическими гибкостями.

**Объект исследования и его математическое описание.** Вертикальная камера горения модели каупера, схема которой представлена на рис. 1, согласно принципу динамического демпфирования, разделена на два колебательных контура. Нижний контур, включающий вентилятор с акустическими параметрами  $L_{a1}$  и  $C_{a1}$ , расположен на входе в камеру горения, а верхний, содержащий сотовые камеры, — на выходе из нее, определяется параметрами  $L_{a2}$  и  $C_{a2}$ .

Рассматриваемая модель камеры горения воздухонагревателя доменных печей (каупера) состоит из центробежного вентилятора 1, управляемой емкости переменного объема 2,

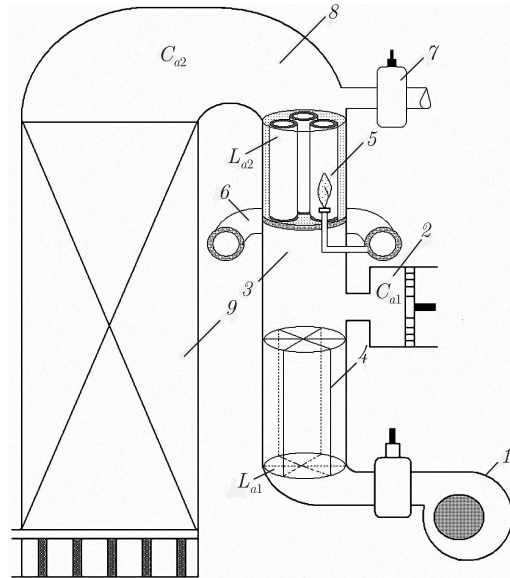


Рис. 1. Схема модели вертикальной камеры горения как динамической системы с двумя степенями свободы

вертикального канала 3, в нижней части которого выполнен ряд каналов 4, которые разделяют его проточный тракт, уменьшая площадь их пересечения, и увеличивают величину  $L_{a1}$ , индивидуальные камеры горения 5, коллектор газоснабжения 6, который соединяется с горелками индивидуальных камер горения, штуцер горячего дутья 7, канала 8 с акустическим параметром  $C_{a2}$  и насадки 9.

Движения среды в вертикальной камере горения (см. рис. 1) описываются следующей системой уравнений. Уравнения движения  $m_i \ddot{x} = \sum_j F_{ij}$  в соответствующих колебательных контурах ( $i = \overline{1; 2}$ ), уравнения изменения массы в объемах аккумуляторов массы с акустическими гибкостями  $C_{a1}$  и  $C_{a2}$ , а также уравнением дросселя  $p_{\text{ВЫХ}} = kG_{\text{ВЫХ}}^2$  и соотношением  $G_{\text{Т}} = \nu G_{\text{ВЕНТ}}$ , где  $p_{\text{ВЫХ}}$  — давление на выходе из камеры горения;  $G_{\text{ВЫХ}}$  — расход, входящий в насадку каупера;  $G_{\text{Т}}$  — суммарный расход сгораемого газа и воздуха;  $G_{\text{ВЕНТ}}$  — массовый расход, подаваемый вентилятором;  $\nu$  — соотношение между топливом и воздухом, подаваемым вентилятором.

Таким образом, окончательно динамика в камере горения описывается следующей автономной динамической системой:

$$\left\{ \begin{array}{l} L_{a1} \frac{dG_{\text{ВЕНТ}}}{dt} = H_{\text{ВЕНТ}}(G_{\text{ВЕНТ}}) - p_{\text{КС}}, \\ C_{a1} \frac{dp_{\text{КС}}}{dt} = G_{\text{Т}} - G_{\text{КС}}, \\ L_{a2} \frac{dG_{\text{КС}}}{dt} = p_{\text{КС}} + A(G_{\text{КС}}) - h_{\text{Т}}(G_{\text{КС}}) - p_{\text{ВЫХ}}, \\ C_{a2} \frac{dp_{\text{ВЫХ}}}{dt} = G_{\text{КС}}(t - \tau) - G_{\text{ВЫХ}}, \\ G_{\text{Т}} = \nu G_{\text{ВЕНТ}}, \\ p_{\text{ВЫХ}} = kG_{\text{ВЫХ}}^2, \end{array} \right. \quad (1)$$

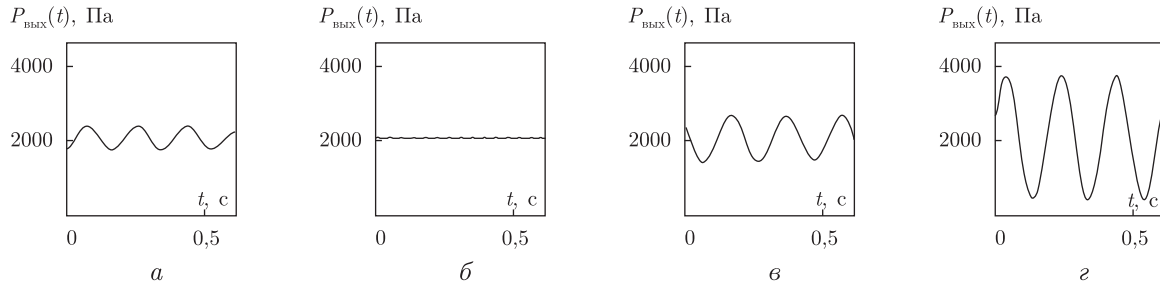


Рис. 2. Увеличение амплитуд автоколебаний в модели сотовой камеры горения (см. рис. 1) с проявлением механизма запаздывания сгорания топлива: а — без подключения демпфера; б, в, г — при подключении проточного демпфера, а —  $\tau = 0$  с; б — 0 с; в — 0,005 с; г — 0,007 с

где  $G_{\text{КС}}$  — массовый расход, выходящий из камеры горения;  $A(G_{\text{КС}})$  — напряжение (давление) подъемной силы;  $h_{\text{T}}(G_{\text{КС}})$  — тепловое сопротивление;  $p_{\text{КС}}$  — давление в камере горения.

Характеристика вентилятора в системе (1) аппроксимирована полиномом третьей степени  $H_{\text{ВЕНТ}}(G_{\text{ВЕНТ}}) = 1800 - 10G_{\text{ВЕНТ}}^3$ .

Полагая  $G_{\text{ВЕНТ}}^* = \xi$ , из условия стационарности режима

$$\frac{dG_{\text{ВЕНТ}}}{dt} = 0, \quad \frac{dp_{\text{КС}}}{dt} = 0, \quad \frac{dG_{\text{КС}}}{dt} = 0, \quad \frac{dp_{\text{ВЫХ}}}{dt} = 0$$

получаем:

$$p_{\text{КС}}^* = H_{\text{ВЕНТ}}(\xi), \quad G_{\text{КС}}^* = \nu\xi, \quad p_{\text{ВЫХ}}^* = k\nu^2\xi^2,$$

где

$$k = \nu^{-2}\xi^{-2}\{H_{\text{ВЕНТ}}(\xi) + A - h_{\text{T}}(\nu\xi)\}.$$

Введем безразмерные переменные:

$$x_1 = \frac{G_{\text{ВЕНТ}}}{G_{\text{ВЕНТ}}^*}, \quad x_2 = \frac{p_{\text{КС}}}{p_{\text{КС}}^*}, \quad x_3 = \frac{G_{\text{КС}}}{G_{\text{КС}}^*}, \quad x_4 = \frac{p_{\text{ВЫХ}}}{p_{\text{ВЫХ}}^*}, \quad t' = m_t t, \quad \tau' = m_t \tau.$$

Тогда в новых переменных система (1) запишется в виде

$$\left\{ \begin{array}{l} \left( \frac{m_t G_{\text{ВЕНТ}}^* L_{a1}}{p_{\text{КС}}^*} \right) \frac{dx_1}{dt'} = \frac{H_{\text{ВЕНТ}}(p_{\text{ВЕНТ}}^* x_1)}{p_{\text{КС}}^*} - x_2, \\ \left( \frac{m_t p_{\text{КС}}^* C_{a1}}{G_{\text{КС}}^*} \right) \frac{dx_2}{dt'} = \nu \frac{G_{\text{ВЕНТ}}^*}{G_{\text{КС}}^*} x_1 - x_3, \\ \left( \frac{m_t G_{\text{КС}}^* L_{a2}}{p_{\text{ВЫХ}}^*} \right) \frac{dx_3}{dt'} = \frac{p_{\text{КС}}^*}{p_{\text{ВЫХ}}^*} x_2 + \frac{A}{p_{\text{ВЫХ}}^*} - \frac{h_{\text{T}}(G_{\text{КС}}^* x_3)}{p_{\text{ВЫХ}}^*} - x_4, \\ \left( \frac{m_t p_{\text{ВЫХ}}^* C_{a2}}{G_{\text{КС}}^*} \right) \frac{dx_4}{dt'} = x_3(t' - \tau') - \sqrt{\frac{p_{\text{ВЫХ}}^*}{k} \frac{\sqrt{x_4}}{G_{\text{КС}}^*}}. \end{array} \right. \quad (2)$$

На рис. 2, а при отсутствии запаздывания  $\tau = 0$  и проточного демпфера (т.е. при  $L_{a1} = C_{a1} = 0$  в системе (2)) приведены формы автоколебаний, самовозбуждающихся в камере горения. При присоединении (см. рис. 1) в рассматриваемую модель проточного динамического демпфера наблюдается практически полное демпфирование автоколебаний

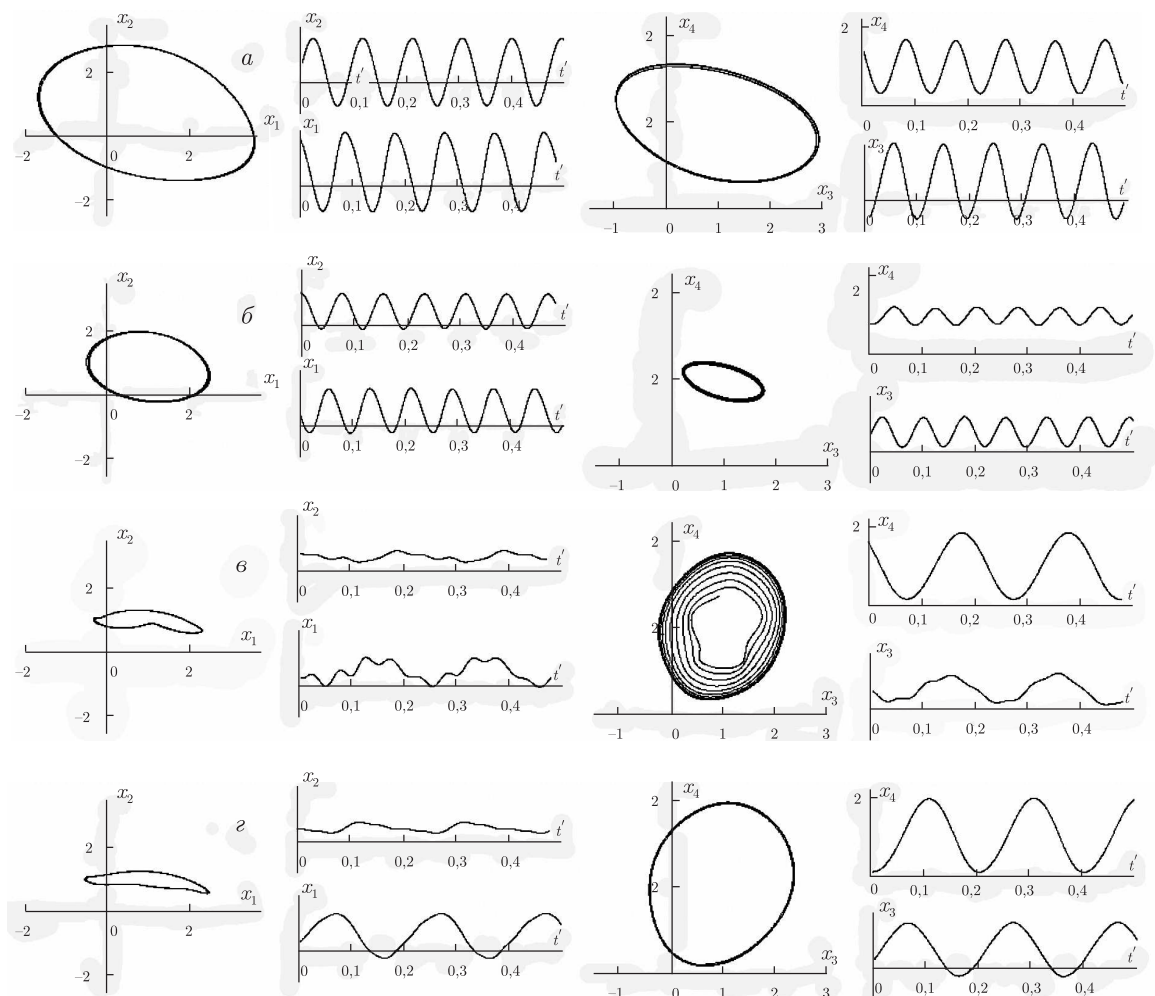


Рис. 3. Автоколебания в соевой камере горения при варьировании акустических параметров подключенного проточного демпфера:  $a - m = 1,2$ ;  $b - 1,5$ ;  $c - 2,5$ ;  $d - 3$

(см. рис. 2, б). Однако с включением действия механизма Л. Крокко при увеличении запаздывания сгорания топлива  $\tau > 0$  амплитуды автоколебаний (см. рис. 2, в, г) нарастают.

Уменьшить амплитуду автоколебаний в камере горения, увеличившуюся за счет роста запаздывания  $\tau$ , можно варьированием акустических параметров демпфера. Полагая  $C_{a_1}(m) = C_{a_2}/m$  и  $L_{a_1}(m) = L_{a_2}/m$ , где  $m$  — варьируемый параметр, на рис. 3 проиллюстрируем характер изменения предельных циклов и соответствующих им автоколебаний  $x_3(t)$  и  $x_4(t)$  как в камере горения, так в демпфере —  $x_1(t)$  и  $x_2(t)$ .

Зависимость амплитуд автоколебаний  $p_{\text{вых}}(t)$  от параметра  $m$  является нелинейной и при одних значениях акустических параметров  $L_{a_1}$  и  $C_{a_1}$  демпфера автоколебания в камере горения демпфируются (см. рис. 3), а при других — наоборот, усиливаются.

**Явление Фейгенбаума при увеличении времени запаздывания сгорания топлива.** Как известно [6], динамика диссипативных систем может быть самой разнообразной. В зависимости от вида аттрактора, присутствующего в фазовом пространстве, в системе может реализоваться либо регулярный режим движения — стационарный, периодический или квазипериодический, что соответствует простым аттракторам (стационарной точке,

предельному циклу и инвариантному тору), либо хаотический, которому отвечает странный аттрактор. Если динамическая система зависит от параметра (в качестве параметра может выступать, например, температура, число Рейнольдса и т. п.), то при его изменении в общем случае аттрактор и, соответственно, поведение системы меняются плавно. Например, при небольшом изменении параметра может немного сдвинуться устойчивая точка, изменить свою форму и период, предельный цикл или деформироваться инвариантный тор. При переходе параметра через некоторое критическое значение аттрактор может претерпеть качественную перестройку, а динамика системы резко измениться. В частности, из предельного цикла может возникнуть инвариантный тор, и периодическое движение сменится квазипериодическим. Значения параметров, при которых происходит топологическая (или качественная) перестройка установившихся режимов движения в системе, как известно [6], называются бифуркационными значениями, а сама перестройка — бифуркацией. При непрерывном изменении параметров могут возникнуть последовательности бифуркаций.

Установление в динамической системе (турбулентного) хаотического режима движения в результате той или иной последовательности бифуркаций принято называть [6, 7] сценарием или картиной развития хаоса. Здесь мы обсудим найденный в динамической системе (1) сценарий Фейгенбаума перехода к турбулентности типа динамического хаоса с ростом бифуркационного параметра  $\tau$  запаздывания сгорания топлива.

Зафиксируем (рис. 4, а) значение  $\tau'_1 \simeq 0$ , при котором рассматриваемая динамическая система имеет предельный цикл некоторого периода  $T_1$ . При увеличении запаздывания  $\tau' > \tau'_1$  этот цикл остается устойчивым, пока не будет достигнуто следующее бифуркационное значение:  $\tau' = \tau'_2$ . В этот момент цикл периода  $T_1$  превращается в сложенный “восьмеркой” устойчивый предельный цикл вдвое большего периода  $T_2 = 2T_1$ , (рис. 4, б). Он замыкается после двух оборотов теряя устойчивость цикла, а в спектре движения появляются кратные гармоники. С дальнейшим увеличением параметра  $\tau' > \tau'_2$  при  $\tau' = \tau'_n$  ( $n = 3, 4, \dots$ ) в системе будут происходить последовательные бифуркации удвоения, приводящие к возникновению устойчивого периодического движения соответственно с периодами  $2^n T_1$  ( $n = 3, 4, \dots$ ) при  $n = 3$   $\tau'_3 \simeq 0,015$  (рис. 4, в). Значения бифуркационного параметра  $\tau' = \tau'_n$ , при которых происходят очередные бифуркации удвоения, образуют сходящуюся последовательность:  $\lim_{n \rightarrow \infty} \tau'_n = \tau'_\infty$ . Когда  $\tau' = \tau'_\infty$ , предельный цикл достигает бесконечно большого периода, т. е. превращается в незамыкающуюся притягивающую фазовую траекторию, из которой при  $\tau' > \tau'_\infty$  формируется странный аттрактор. Динамика системы в этом случае характеризуется сплошным спектром и разбеганием близких фазовых кривых [7].

Скорость сходимости бесконечной последовательности определяется универсальной постоянной — числом Фейгенбаума:

$$\lim_{n \rightarrow \infty} (\tau'_n - \tau'_{n-1})(\tau'_{n+1} - \tau'_n)^{-1} = \delta \approx 4,6692. \quad (3)$$

Описанному сценарию [6, 7] присуща универсальность: константа Фейгенбаума  $\delta$  не зависит от конкретного вида динамической системы. Из (3) следует существование некоторой константы  $C > 0$ :  $\tau'_\infty - \tau'_n = C\delta^{-n} + o(\delta^{-n})$  при  $n \rightarrow \infty$ .

Таким образом, в работе получена математическая модель регенеративного воздухоподогревателя с сотовой камерой горения при последовательном подключении проточного динамического демпфера, приводящая к нелинейной динамической системе с двумя степенями свободы. Установлен характер демпфирования автоколебаний в рассматриваемой дина-

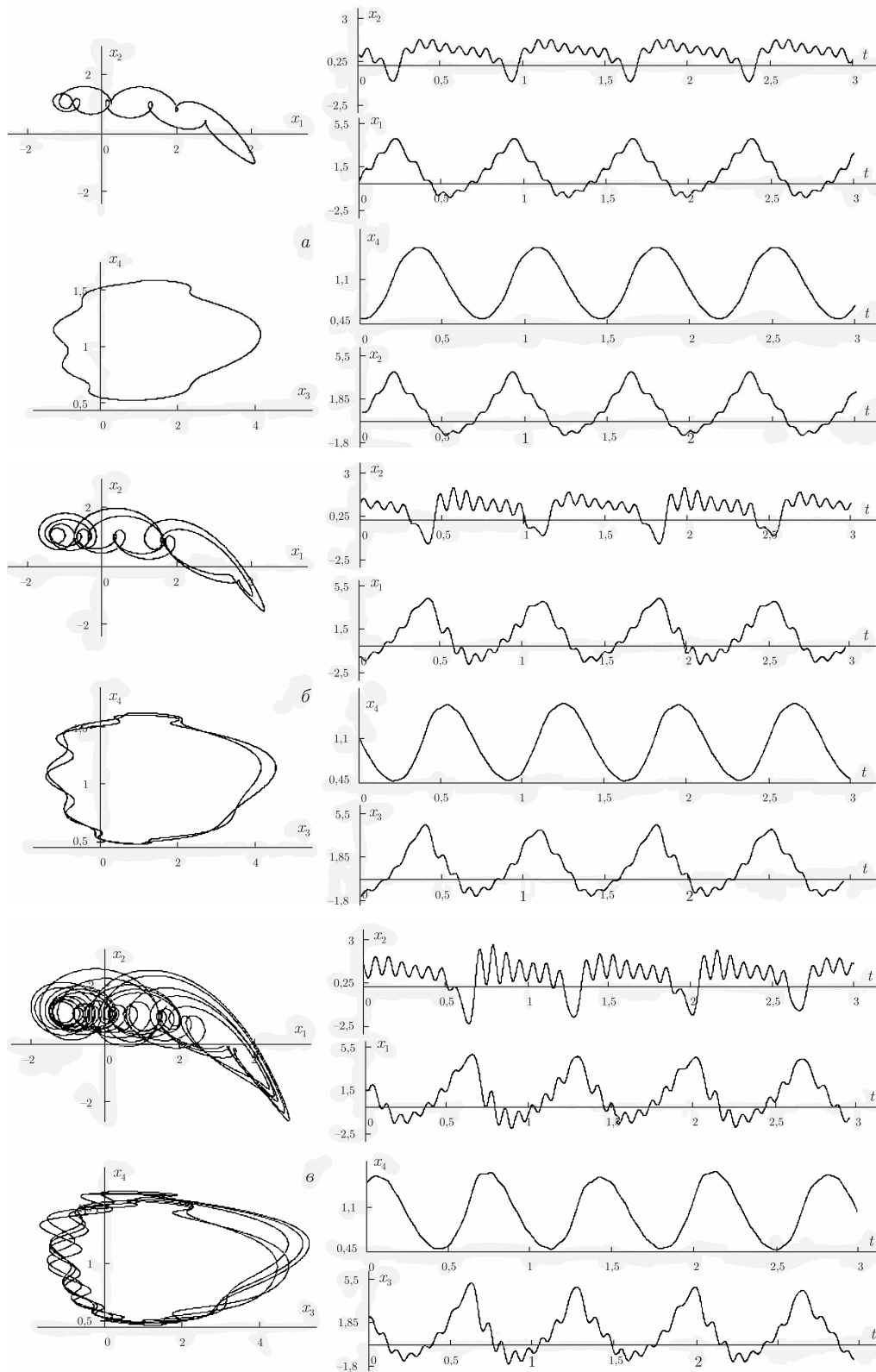


Рис. 4. Сценарий Фейгенбаума с ростом  $\tau'$ : а —  $\tau' = 0$ ; б — 0,01; в — 0,015

ческой системе при изменении акустических параметров проточного демпфера. Найдена закономерность Фейгенбаума удвоения периода, когда в качестве бифуркационного параметра рассматривается запаздывание  $\tau$  сгорания топлива.

1. Басок Б. И., Гоцуленко В. В. Проблема термоакустических колебаний и вибрационного горения // Техн. теплофизика и промышл. теплоэнергетика. Сб. науч. тр. – 2009. – Вып. 1. – С. 5–15.
2. Гоцуленко В. В., Павленко А. М., Басок Б. И. Управление автоколебаниями при вибрационном горении // Промышл. теплотехника. – 2005. – 27, № 1. – С. 9–13.
3. Гоцуленко В. В., Басок Б. И. Математичне моделювання динамічних процесів в моделі перфорованої камери горіння повітрянагрівачів доменних печей // Там само. – 2009. – 31, № 5. – С. 34–41.
4. Тимошенко С. П. Колебания в инженерном деле. – Москва: Наука, 1967. – 444 с.
5. Стрелков С. П. Введение в теорию колебаний. – Москва: Наука, 1964. – 437 с.
6. Лоскутков А. Ю., Михайлов А. С. Введение в синергетику. – Москва: Наука, 1990. – 272 с.
7. Вул Е. Б., Синай Я. Г., Ханин К. М. Универсальность Фейгенбаума и термодинамический формализм // Усп. мат. наук. – 1984. – 39, вып. 3(237). – С. 3–35.

*Институт технической теплофизики  
НАН Украины, Киев*

*Поступило в редакцию 15.07.2010*

Corresponding Member of the NAS of Ukraine **B. I. Basok**,  
Corresponding Member of the NAS of Ukraine **A. A. Avramenko, V. V. Gotsulenko**

### **Dynamical damping of self-oscillations in the model of regenerative air-heater with cellular chambers of burning**

*The dynamical damping of self-oscillations in the model of regenerative air-heater with cellular vertical chamber of burning is considered. A mathematical model of the considered oscillatory system is developed. Features of the damping of self-oscillations of the vibrating burning are determined.*